

TATIANA ARSENIĘWA (IA RAN), TOMASZ SCHOLL (IA UW)

PRZY WSPÓŁPRACY B. BALUKIEWICZ, J. JĄBLONOWSKIEJ-TARACHY, L. KAZAKOWEJ, S. NAUMIENKO I A. PASTEWKI

**SPRAWOZDANIE Z KAMPANII WYKOPALISKOWEJ W TANAIŚ
PRZEPROWADZONEJ W SEZONIE 2002
(PL. 1-11)**

W okresie od 25.06. do 17.07. 2002 roku prace archeologiczne w wykopie XXV, położonym na zachód od zachodniego, hellenistycznego muru obronnego, prowadził oddział polsko-rosyjski Archeologicznej Ekspedycji Dolnego Donu IA RAN pod kierownictwem T. Arseniewej. Ze strony polskiej w pracach uczestniczyli pracownicy, doktoranci i absolwenci IA UW: J. Jabłonowska-Taracha, T. Scholl (kierownik strony polskiej), S. Zyga – archeolodzy, B. Balukiewicz – antropolog, a także A. Pastewka – architekt oraz studenci IA UW¹. Stronę rosyjską reprezentowali pracownicy Muzeum-Rezerwatu Tanais i Uniwersytetu Rostowskiego (RGU): L. Kazakowa i S. Naumienko – ceramolog oraz studenci RGU². Pracowali z nami także wolontariusze³.

Celem tegorocznej kampanii było kontynuowanie prac w wykopie XXV⁴ (Fig. 1, 2), a szczególnie dalsze badanie hipotetycznego mostu biegnącego w poprzek rowu obronnego. Jego północny, kamienny filar (mur nr 2) został częściowo odsłonięty w poprzednich kampaniach. W tym sezonie prześledzono do calca kwadrat 9, zaś kwadraty 10 i 11 zostały odsłonięte do znacznej głębokości. W celu zbadania terenu bezpośrednio przylegającego od zachodu do mostu odczyszczono do calca część kwadratu 8. Odsłonięto do calca, a następnie zasypano badane fragmentarycznie kwadraty 12 i 13, związane z najbliższym otoczeniem lepianki (magazynu ceramicznego) badanej i dokumentowanej w latach poprzednich. Rozpoczęto także znoszenie wierzchnich warstw w nowo otwartych kwadratach 14, 15, 16, znajdujących się na północ od kwadratów 2, 3 i 5.

W sumie, w roku 2002 prowadzono prace w 10 kwadratach, w trakcie których odsłonięto pozostałości mostu, konstrukcji obronnych: muru i rowu, a także

4 jamy i 3 pochówki dzieci. Do Muzeum przekazano 66 zabytków wydzielonych.

Opis warstw jest analogiczny do opisu warstw w poprzednich sprawozdaniach (tutaj przedstawiony w skrócie):

Warstwa I składa się na całym wykopie z humusu i oraniny, dodatkowo w kwadratach 14, 15, 16 widoczne są liczne współczesne wkopy śmietnikowe, a także domieszki kamieni pozostałych po budowie współczesnej toalety. Materiał archeologiczny jest oczywiście bardzo przemieszany i datowany na okres od hellenistycznego po czasy współczesne.

Warstwa II złożona jest z czarnoziemiu z licznymi kamieniami, ceramiką i kośćmi, przemieszana, datowana jak wyżej.

Warstwa III złożona jest z ziemi jaśniejszej niż wyżej opisana, z podobną zawartością: kamienie, ceramika, kości. Jest to pierwsza warstwa nienaruszona od połowy III wieku n. e., chociaż i w niej zdarzają się wkopy, także współczesne, szczególnie we wschodniej części wykopu.

Warstwa IV – to wypełnisko rowu obronnego, przede wszystkim jest to śmietnik z przewagą materiału archeologicznego datowanego na okres od hellenistycznego do II wieku n.e.

Warstwa V – glina calcowa na wtórnym złożu.

Warstwa VI – caleb, głównie glina koloru rdzawego z licznymi wapiennymi wtrąceniami.

Warstwę VIII stanowi wypełnisko jam.

Warstwa X – sztuczna podsypka: ubity gruz wapienny spojony gliną calcową.

W opisach profili występują oznaczenia: „c” – ceramika, „k” – kości, „m” – muszle.

¹ M. Baliszewski, M. Domańska, E. Haraszczuk, M. Matera, W. Rybicki, A. Ryszkowski, J. Serafin, A. Siuzdak, M. Siwek, M. Stefaniak, R. Świdorski, D. Świąćka, M. Teodorowicz, H. Werpachowska, B. Wojciechowski.

² E. Chworostjanyj, D. Wostrikow.

³ A. Marks, N. Nidzielnicki, R. Sobczak.

⁴ Sprawozdania z poprzednich kampanii na terenie wykopu

XXV – patrz: T. ARSENIĘWA, T. SCHOLL, Sprawozdanie z kampanii wykopaliskowej przeprowadzonej na terenie zachodniej nekropoli Tanais w sezonie 1999, Światowit II (XLIII), fasc. A, p. 13-16; T. ARSENIĘWA, T. SCHOLL, *Sprawozdanie z kampanii wykopaliskowej przeprowadzonej na terenie tzw. zachodniej nekropoli Tanais w sezonie 2000*, Światowit III (XLIV), fasc. A, p. 17-19, pl. 2-15

Kwadraty 12, 13 (Fig. 3)

Doczyszczono do calca (-3,95 do -4,00 m) teren leżący na zewnątrz lepianki (Fig. 3), a ta powierzchnia nosi ślady zakłóceń norami zwierząt i korzeniami roślin. Układ warstw zalegających w profilach (szczególnie w profilu południowym kwadratu 12 oraz w profilu zachodnim kwadratów 12 i 13) wskazuje na wykorzystanie tego miejsca jako śmietnika. Widoczne są liczne, cienkie warstewki popiołu i węgla drzewnego wraz z kośćmi i fragmentami ceramiki, przeplatane jaśniejszymi smugami ziemi. Także zawartość jamy 14, uchodzącej pod zachodnią krawędź wykopu, w której i ponad którą widoczny jest wyżej opisany układ warstw, świadczy o wykorzystaniu tej jamy jako śmietnika, a po jej wypełnieniu – o dalszym wyrzucaniu śmieci w tym miejscu. W samej jamie o głębokości do 0,35 m (-4,47 m), znaleziono znaczne ilości ceramiki i kości (część ze śladami ognia). Ceramika – to przede wszystkim fragmenty lepione, zaledwie kilka niecharakterystycznych fragmentów amfor hellenistycznych (głównie Rodos). Jama 13 (do -4,29 m), uchodząca pod profil południowy kwadratu 12, i jama 15 (do -4,30 m), uchodząca pod profil północny kwadratu 13, są bardzo podobne do siebie pod względem zawartości. Zawierają bardzo mało artefaktów (nieliczne, niecharakterystyczne fragmenty ceramiki lepionej ręcznie), trochę kości, nieliczne kamienie i niewiele popiołu. Obie są także dość płytkie (o głębokości do 0,20 m). Analiza materiału ceramicznego pochodzącego z jam, jak i z czyszczenia calca, wskazuje na okres późno-hellenistyczny jako czas użytkowania tego miejsca. Jam 13, 14 i 15 nie przebadano w całości z powodu niemożności dalszego rozszerzenia prac (droga oraz tereny prywatne).

Na powierzchni calca zebrano nieliczny materiał archeologiczny; z wypełnisk jam pochodzi natomiast jeden zabytek wydzielony: fragment imadła rodyjskiego *amforiskosa* (?) ze stemplem, datowanym na połowę II wieku p.n.e. (?)⁵ (nr inw. T.XXV.02.1p – Fig. 4).

Rów obronny (kwadraty 5, 6, 9, 10, 11; Fig. 1, 2, 5-7)

W tym sezonie odstoniliśmy skłon zachodni rowu położony na południe od kamiennego muru nr 2. Skłon wschodni (Fig. 7), na którym zalega na wtórnym złożu warstwa (0,20 m) gliny calcowej (leżącej na warstwie muszli, ceramiki i kości), jak i samo dno rowu – oczyszczone będą w przyszłym roku. Dlatego profil południowy wykopu nie jest kompletny: pozostało do odstonięcia prawdopodobnie około 0,5 m do poziomu calca (Fig. 5). Potwierdziliśmy nasze poprzednie obserwacje: rów ma łagodne nachylenie zachodniego skłonu i dość

stromy skłon wschodni. Interesujący wydaje się być fakt niewielkiego stosunkowo zniszczenia przez wodę i roślinność pierwotnej powierzchni rowu. W poprzednim sezonie wyraźnie widać było od strony północnej muru warstwę zniszczenia o miąższości dochodzącej do 0,20 m. W profilu południowym grubość warstwy zniszczenia nie przewyższa (jak na razie udało się zaobserwować) 0,05 m (Fig. 5, warstwa VIa). Wynika to prawdopodobnie z utrzymywania się dłużej i wyżej wody po północnej stronie kamiennego muru nr 2. Układ warstw ziemnych jest podobny do tego, jaki stwierdzono w roku poprzednim, z wyjątkiem niezinterpretowanych jeszcze przebarwień na wysokości przepustu przechodzącego przez mur nr 2 (Fig. 5, warstwy: IVb, c, d). Zarówno w materiale archeologicznym, jak i w strukturze ziemi widać wyraźną granicę pomiędzy materiałem datowanym na okres od III wieku p.n.e. po I wiek n.e., a materiałem datowanym na II-III wiek. Granica ta związana jest ze zniszczeniem muru nr 2 (Fig. 5, 6, spąg warstwy III). Wyraźnie także widać było warstwę muszli zalegającą szczególnie intensywnie przy murze nr 2 i na skłonach rowu (literki „m”: Fig. 5, 6). Jest ona związana z okresem pomiędzy zaprzestaniem wykorzystywania rowu jako konstrukcji obronnej a całkowitym jego zasypaniem.

Wśród materiału archeologicznego pozyskanego z rowu, złożonego przede wszystkim z niezbyt licznych fragmentów ceramicznych, głównie fragmentów amfor rodyjskich, znajdują się następujące zabytki wydzielone: fragment imadła amfory Rodos ze stemplem – druga połowa II wieku p.n.e. (nr inw. T.XXV.02.3p); przedmiot kościany (nr inw. T.XXV.02.5p – Fig. 10); fragment imadła amfory Rodos ze stemplem – 141-135 p.n.e. (nr inw. T.XXV.02.31p – Fig. 8); fragment imadła amfory Knidos ze stemplem – trzecia ćwierć II wieku p.n.e. (nr inw. T.XXV.02.43p); fragment imadła amfory Kos ze stemplem – II wiek p.n.e. (nr inw. T.XXV.02.49p – Fig. 9); fragment imadła amfory Rodos ze stemplem – 182-176 rok p.n.e. (nr inw. T.XXV.02.50p), stempel wyjęty z profilu południowego kwadratu 9, z głębokości -5,15 m.

Mur nr 2 (kwadraty 5, 6, 9, 10, 11; Fig. 1, 2, 7, 11, 13, 15)

Mur ten badany jest od 1999 roku, a w obecnym sezonie podjęto próbę jego interpretacji w związku z odkryciami po jego południowej stronie. Wydaje się, że uległ on naturalnemu zniszczeniu, przynajmniej w swojej części zachodniej (Fig. 1). Przyczyną zniszczenia był prawdopodobnie dość lichej materiał kamienny użyty do budowy tego fragmentu muru. Cały mur pochylony jest ku południowi, a odchylenie w pionie sięga 0,25 m. Inaczej

⁵ Datowanie stempli zawdzięczamy Z. Sztetyłło z IA UW.

było z częścią wschodnią muru nr 2 (Fig. 1, 7). Sądząc po dobrej jakości kamieni fundamentowych (bo tylko takie się ostały), cały ten fragment muru został postawiony z wykorzystaniem solidnych kamieni budowlanych i następnie prawdopodobnie wyrabowany razem z zewnętrznym licem muru obronnego. W środkowej części muru nr 2 – zachodniego, od strony południowej znajdowała się „zagródka” (długości 1,70 m i szerokości do 1,10 m) nieznanego przeznaczenia (Fig. 1, 14). Jej półokrągłą, południowo-wschodnią ścianę stanowiły duże płyty wapienne (typu ortostatów), osiągające wymiary do 0,70 x 0,60 x 0,30 m, częściowo zagłębione w calec (szczególnie od strony zachodniej). Zagłębienie to jest, być może, efektem spływu zbrocza. Sądząc po tym, że fundament muru nr 2, znajdujący się w obrębie wspomnianej „zagródki”, został częściowo odsłonięty w wyniku wymycia przez wodę (do głębokości 0,25 m poniżej posadowienia muru), a warstwa muszli pokryła tę konstrukcję, należy przyjąć, że ściana ta stała w momencie zniszczenia mostu. Oczywiście jest także możliwe, że konstrukcję tę wzniesiono tuż po zniszczeniu mostu. W zachowanej koronie muru nr 2 od strony zachodniej widoczne jest gniazdo dla osadzenia poprzecznej belki drewnianej (Fig. 15, 16). Drugie gniazdo znajduje się, być może, w odległości 1,5 m ku wschodowi. Oba miejsca będą badane w przyszłym roku. Materiał ceramiczny zebrany podczas czyszczenia korony muru datowany jest na okres do III wieku n.e. Odczyszczono także częściowo przelot prowadzący w poprzek zachodniej części muru nr 2 (Fig. 1, 13, 15, 16). Wysokość otworu wynosi 0,55 m, szerokość 0,50 m, a odczyszczony został na długości 0,85 m. W tym miejscu pełna szerokość muru nr 2 wynosi 1,10 m. Przelot zbudowany jest z dużych, ściśle dopasowanych bloków wapienia, a jego strop stanowi jedna, duża płyta.

Most (kwadraty 5, 6, 8, 9, 10, 11; Fig. 1, 11-12, 13, 15-18)

Most zbudowany był z północnego muru (kamiennego) i ze związanych z nim drewnianych konstrukcji przylegających do niego od południa. Rolę kamiennych filarów pełnił mur nr 2, z którego części wschodniej i zachodniej do odsłonięcia zostały fragmenty leżące na samym dnie rowu, oraz południowa fasada filaru wschodniego. Z drewnianego filaru, znajdującego się w odległości 2 m na południe od muru, zachowały się omówione poniżej elementy. Zaliczyć do nich należy poprzeczny do zachodniego zakończenia muru nr 2 rów fundamentowy – szerokości około 0,60 m i długości 2 m (Fig. 1, 17, 18). Widać wyraźny spływ gliny calcowej na fundament. Miejsce to będzie badane w przyszłym roku. Poniżej, 1,70 m ku wschodowi i w odległości 2 m na południe od muru 2, znajduje się prawdopodobnie dół po palu (?) o średnicy 0,5 m, obecnie zapełniony kamieniami (Fig. 1, 17, 18). Także to miejsce będzie badane w przyszłym roku. W kwadracie 10 natrafiliśmy na ślady spalonego pomostu drewnianego (Fig. 1); spalenizna zalegała poni-

żej silnego zagruzowania związanego z częściowym zniszczeniem kamiennego filara. Oznacza to, że najpierw spłonął pomost, a potem runęła część kamienna mostu. Na poziomie spalenizny znaleźliśmy gwóźdź żelazny (-5,25 m.) o długości nie mniejszej niż 0,13 m – brak wyraźnej koneksji pomiędzy dwoma fragmentami gwóźdźnia nie pozwala na dokładne określenie jego długości. Materiał ceramiczny zebrany z poziomu spalenizny i bezpośrednio nad nim, to przede wszystkim fragmenty amfor hellenistycznych. Także i to miejsce, podobnie jak stok wschodni rowu w kwadratach 10 i 11, badane będą w następnym roku.

Wybrane znaleziska z poziomu spalonego pomostu w kwadracie 10: fragment imadła amfory Rodos ze stemplem (nr inw. T.XXV.02.57p) – początek II wieku p.n.e.; fragment imadła amfory Rodos ze stemplem (nr inw. T.XXV.02.63p) – ca 221-199 p.n.e.; fragment naczynia kościanego (nr inw. T.XXV.02.66p).

Kwadrat 8, czyli bezpośredni podjazd do mostu (Fig. 1, 11, 12)

W kwadracie tym odsłoniliśmy kontynuację muru nr 1 ku południowi, a także zdjęliśmy kamienie średniej wielkości zalegające na wschód od niego (Fig. 11, 12). Niestety, nie natrafiliśmy na ani jedną płytę podobną do tych z kwadratu 2, które zostały znalezione w 1999 roku. Pod kamieniami występują liczne jamy; część z nich jest bardzo płytka i pozbawiona materiału zabytkowego. Największą jamą z dotychczas odsłoniętych okazała się jama nr 16, o rozmiarach 1,10 x 1,25 m, głębokości do 0,24 m (od -3,59 m do -3,83 m). W jej wypełnisku znajdowały się 2 niecharakterystyczne fragmenty ceramiki lepionej ręcznie i 3 fragmenty kości zwierzęcych. Na tej jamie postawiony został mur nr 1, czyli zachodni krawężnik podjazdu. Na całym terenie, szczególnie nad jamami, zalega warstwa drobnych, starannie wbitych w podłoże kamieni. Warstwa ta stanowiła prawdopodobnie podsypkę pod kamienie zalegające bezpośrednio pod płytami brukowania. Na styku z kwadratem 9 odczyściliśmy prawdopodobnie wschodni krawężnik podjazdu do mostu (Fig. 1, 17, 18). Jest to mur długości 2,20 m, szerokości do 0,40 m, przylegający do zachodniego zakończenia muru nr 2. Fragment ten będzie przez nas badany dokładnie w następnym sezonie, tak jak i pozostała część kwadratu 8. Materiał archeologiczny zebrany z powierzchni poniżej warstwy bruku (do -3,86 m), to przede wszystkim niewielka ilość fragmentów amfor hellenistycznych.

Sondaż 8 (na wschód od kwadratu 6; Fig. 1)

Sondaż 8 o szerokości 0,5 m i długości 2 m założono w profilu wschodnim kwadratu 6. Na podstawie wyników badań hellenistycznego muru obronnego w wykopie XIII z roku 1962 szerokość muru ustalono na około 3 m. Po przeprowadzeniu sondażu 8 (sięgnął on na 0,5 m w głąb profilu wschodniego) jest jasne, że w tym

miejscu – prawdopodobnie z powodu wjazdu do miasta – szerokość muru obronnego jest większa niż 3 m. Dla poznania pełnej szerokości muru obronnego i zbadania wjazdu konieczne jest przecięcie tzw. wału tureckiego.

Mur obronny (kwadraty 6, 11; Fig. 3, 1, 19, 20)

W rezultacie ostatniego czyszczenia kwadratu 6 okazało się, że wkop fundamentowy pod zewnętrzne lico muru obronnego w części północnej posiada od strony miasta dodatkowy parapet (szerokości do 0,6 m i wysokości do 1,0 m), prawdopodobnie związany z dodatkowym ufortyfikowaniem wjazdu (Fig. 19, 20). Na samym dnie wkopu fundamentowego znaleziono fragment wylewu typowej miski kultury czerniachowskiej datowany na IV wiek. Oznacza to jednoznacznie, że ostateczne wybranie kamieni z muru obronnego nastąpiło w okresie osadnictwa gockiego. Czyszcząc kwadrat 11 także natrafiono na fragmenty ceramiki z tego okresu. Obserwacja dna wkopu fundamentowego ujawniła zmianę jego głębokości: im dalej na południe, tym wkop ten staje się płytszy. Jest już jasne, że wypełniskiem muru obronnego na obszarze badanych kwadratów na poziomie fundamentów jest specjalnie ubita warstwa drobnych kamieni z rdzawą gliną calcową. Wydaje się, że ku południowi substrukcja ta zanika.

Nekropola (kwadraty 9, 10; Fig. 1, 14, 21, 22, 23)

W tym sezonie na poziomie zniszczonej korony muru nr 2 naurafiliśmy na trzy pochówki dziecięce (dzieci w wieku do 2 miesięcy). Dwoje z nich (G-9, G-8) zostało luźno pochowanych w jamach, których nie udało się prześledzić. Stan pochówku G-8 (-3,77 m, kwadrat 10), z którego pozostały zaledwie nieliczne kości, nie pozwala także na rekonstrukcję orientacji pochówku. Pochówek G-9 (-3,84 m, kwadrat 10, Fig. 21), z którego pozostała znaczna część szkieletu, w tym czerep i część kości długich, pozwala na rekonstrukcję położenia szkieletu. Zmarły złożony był na lewym boku w pozycji embrionalnej, z głową skierowaną na północny zachód, bez inwentarza grobowego. W jego najbliższym otoczeniu znaleziono krąg rybi ze śladami opracowania (nr inw. T.XXV.02.22p). Pochówek G-7 (-3,96 m, kwadrat 9; Fig. 14, 23) znajdował się w amforze typu C (-3,84 m – najwyższy punkt amfory, -4,01 m. – najniższy punkt amfory), datowanej

na sam koniec II wieku, znajdującej się tuż przy koronie muru nr 2, na poziomie jego zachowania (Fig. 14). Na ramionach amfory, pomiędzy imadłami znajduje się *dipinto* (Fig. 22). Zmarły leżał na lewym boku w pozycji embrionalnej, z głową skierowaną na północ. Szkielet nie znajdował się w amforze, lecz amfora przykrywała zmarłego. Pochówki te, tak jak i poprzednie (odkryte w roku 2000), były pozbawione wyposażenia grobowego.

Kwadraty 14, 15, 16 (Fig. 1)

Rozpoczęliśmy zdejmowanie wierzchnich warstw w tych trzech kwadratach. Ze względu na usytuowanie budynku toalety, uniemożliwiającej dalsze prace, będą to najdalej na północ wysunięte kwadraty wykopu XXV. Mamy nadzieję, że uda nam się znaleźć połączenie jamy 10 (północno-wschodnia część kwadratów 4 i 7), znanej z poprzednich sezonów, z rowem obronnym. Także przebadanie linii muru obronnego powinno nam wyjaśnić przyczynę szczególnego wzmocnienia zewnętrznego lica muru obronnego widocznego w kwadracie 6.

Dotychczas prace w tych kwadratach nie przyniosły interesujących znalezisk. Cały czas napotykamy współczesne wkopy śmietnikowe, co sprawia, że pozyskiwany ubogi materiał archeologiczny jest bardzo przemieszany, charakterystyczny dla warstwy I.

Podsumowując kampanię 2002 roku, należy przede wszystkim podkreślić fakt potwierdzenia istnienia mostu o konstrukcji kamiennieo-drewnianej z okresu późnohellenistycznego. Obiekt o takiej konstrukcji nie jest dotychczas znany w świecie greckim. Mamy nadzieję, że kolejna kampania pozwoli na pełne przebadanie budowy mostu i jego najbliższego otoczenia.

Z przekazu Strabona⁶ wiemy, że bosporański król Polemon podporządkował sobie Tanais⁷. Dla osiągnięcia zamierzonego celu przedsięwziął ekspedycję karną, zakończoną zburzeniem murów obronnych⁸. Odbudowa Tanais jako ufortyfikowanego miasta nastąpiła dopiero w końcu I wieku n.e. i dotyczyła tylko jego części wschodniej⁹. Część zachodnia, którą mamy możliwość badać, została zamieniona w wysypisko śmieci. Stąd też mamy pewność, że obiekty architektury odsłaniane przez nas na obszarze wykopu XXV należy datować wyłącznie na okres hellenistyczny.

⁶ Strabo XI.2.3. Tłumaczenie A. Łukaszewicz.

⁷ Wg D.B. ŠELOV, *Tanais i Nižnij Don v III - I vv. do n. ě.*, Moskva 1970, p. 235 – było to w roku 8 p.n.e.; wg S. I. BOLDYREV, *O charaktere prebyvanija Polemona na Bospore*, *Drevnosti Bospora* 3, Moskva 2000, p. 15 – było to w 12 roku p.n.e.

⁸ A. I. BOLTUNOVA, *Raskopki oboronitel'noj steny zapadnogo rajona Tanaisa (1958-1963 gg.)*, *Materialy i Issledovanija po Archeologii SSSR* 154, Moskva 1969, p.123

⁹ D.B. ŠELOV, *Tanais i Nižnij Don v pervye veka našej ěry*, Moskva 1972, p. 8

Kolejnym zadaniem dla nas jest odsłonięcie wjazdu do miasta. Wyeksponowanie wjazdu i przylegającego fragmentu zabudowy miejskiej stworzyłyby wspinały obiekt turystyczny o walorach dydaktycznych.

Bardzo interesujący wydaje się być fakt znajdowania w jednym miejscu kolejnych pochówków dziecięcych. Od roku 2000 łącznie mamy już zinwentaryzowanych 12 pochówków i kilka fragmentów kostnych pocho-

dzących z pochówków niezinventaryzowanych. Coraz bardziej zawężamy czas istnienia tej nekropoli – obecnie można ją datować na okres nie wcześniejszy niż na koniec II - początek III wieku n.e.

Znaleźliśmy także potwierdzenie czasu ostatecznego wyrobawiania kamieni z muru obronnego – dokonano tego w IV wieku.

Aneks 1:

Beata Balukiewicz. Sprawozdanie antropologiczne

Materiał antropologiczny przebadany w tym sezonie pochodził z warstwy przemieszanej i liczył 182 kości (wiek *adultus-maturus*). Materiał zawierał też kości dziecięce (wiek *infans I*), które znajdowały się w kwadratach 9, 10, 14, 15 (Fig. 1). Oprócz tego zostały odkryte 3 pochówki dziecięce, w tym jeden w amforze.

Ponieważ materiał nie pochodził z zamkniętego zespołu, jak też ze względu na zły stan zachowania, trudno określić ilość osobników, ich płeć i wiek, natomiast możliwe było określenie minimalnej liczby osób. Tabela 1 przedstawia ilość prawych i lewych kości parzystych (np. kości kończyn), a także ilość kości czaszki (np. żuchw). Na podstawie kości udowych można stwierdzić, że minimalna ilość to 12 osobników.

Spśród 182 kości udało się określić pod względem płci tylko 35, z czego 22 kości należały do kobiet i tylko 13 do mężczyzn. Wynik ten wskazuje na przewagę liczebną kobiet, jednakże nie może być uznany za całkowicie pewny ze względu na niewielką próbę.

Z 19 fragmentów udało się wykleić jedną czaszkę. Wszystkie fragmenty pochodzą z kwadratów 9 i 10. Czaszka jest długa, o dość wysokich oczodołach, nasada nosa średnio szeroka.

Również w kwadratach 9 i 10 znaleziono 42 kości, będące odrębnym zespołem w postaci ułożonego anatomicznie kręgosłupa z żebrami i obojczykiem. Kręgosłup składał się ze wszystkich kręgów (7 kręgów szyjnych, 12 kręgów piersiowych i 5 kręgów lędźwiowych); znaleziono także 17 fragmentów żeber.

Oddzielnego omówienia wymagają pochówki dziecięce i szczątki znalezione luzem. Odkryte w 2002 roku 3 pochówki dziecięce są częścią nekropoli, która była badana wcześniej. Wszystkie trzy pochówki były skierowane głowami na północ. Wiek dzieci określono na okołoporodowy (w tym noworodkowy).

Pochówek nr 7 (G-7), w amforze, kwadrat 9 (Fig. 14)

Znaleziono: 46 fragmenty czaszki, żuchwę (lewa gałąź), 44 łuki kręgów, 20 trzonów kręgów, 29 fragmentów żeber, mostek (w 3 częściach), 2 łopatki, 2 obojczyki (w tym tylko fragment lewego), 2 kości ramieniowe (61 mm i 62 mm), 2 kości łokciowe (we fragmentach), 2 kości promieniowe, 2 kości nadgarstka, 4 kości śródreżca, 2 kości biodrowe, 2 kości kulszowe, 2 kości udowe (prawa – 70 mm, lewa w 3 fragmentach), 2 kości piszczelowe (68 mm i 67 mm), 2 kości strzałkowe, 2 kości piętowe, 3 kości stępu, 4 kości śródstopia i 16 członów palcowych.

Długość ciała: ok. 46 cm.

Pochówek nr 8 (G-8), kwadrat 10

Znaleziono: 23 fragmenty czaszki, żuchwę (lewa gałąź), 43 łuki kręgów, 15 trzonów kręgów, 25 fragmentów żeber, mostek (w 3 częściach), 2 łopatki, 2 obojczyki, 2 kości ramieniowe (63 mm i 62 mm), kość łokciową lewą, 2 kości promieniowe, 2 kości udowe (70 mm i 72 mm), 2 kości piszczelowe (65 mm i 67 mm), 2 kości strzałkowe i 12 członów palcowych.

Długość ciała: ok. 46 cm.

Pochówek nr 9 (G-9), kwadrat 10 (Fig. 21)

Znaleziono: 8 łuków kręgów, 16 fragmentów żeber, mostek (w 3 częściach), kość ramieniową prawą (60 mm), kość łokciową lewą, 2 kości udowe (69 mm i 70 mm), 2 kości piszczelowe (67 mm i 65 mm), 2 kości strzałkowe (jedna we fragmentach), 2 kości piętowe, 2 kości skokowe, 1 kość stępu, 1 kość śródstopia.

Długość ciała: ok. 45 cm.

Oprócz pochówków znaleziono też miednicę i kość udową (kwadraty 9 i 10) oraz kość piszczelową (kwadraty 14 i 15). Prawdopodobnie są one pozostało-

Tab. 1. Minimalna liczba osobników

	Kości			Min. liczba osobników
	prawe	lewe	nieokreślone lub nieparzyste	
k. czołowa			5	5
zuchwa			6	6
obojczyk	5	3	5	
łopatka		1	1	1
k. ramieniowa	5	3	5	
k. łokciowa	3	1		3
k. promieniowa	2		2	2
k. udowa	11	7	6	12
k. piszczelowa	1		2	2
k. strzałkowa	1	2	5	4
k. piętowa	2	2		2
k. skokowa		1	2	1

Aneks 2

Beata Balukiewicz. Sprawozdanie archeozoologiczne

ściami dwóch innych pochówków dziecięcych.

Opracowaniu archeozoologicznemu poddano materiał kostny uzyskany w tym sezonie badań archeologicznych prowadzonych w kwadratach 8-11, 14-16. Materiał zawierał 4245 fragmentów kostnych, z czego nadających się do określenia przynależności gatunkowej i anatomicznej było 2418. Stopień rozkawałkowania badanego materiału jest średni. Stan zachowania fragmentów kostnych nie jest dobry. Z tego powodu około 43% całego materiału pozostało niezidentyfikowane. Ze względu na rozdrobnienie materiału możliwości szczegółowej analizy są znacznie ograniczone. Na przykład nie zachowały się w całości kości bydła, świni czy kozy-owcy potrzebne do uzyskania szerszych informacji. Dlatego nie dokonano oceny morfologicznej tych gatunków.

Rozpoznanym materiałem są głównie pozostałości ssaków i ryb (**Tab. 4**). Ptaki, gady i mięczaki stanowią w sumie 1,4% tej części materiału. Do ssaków (67,9%), oprócz ssaków udomowionych, należy też 5 fragmentów kostnych ssaków dzikich, wśród których nie udało się określić przynależności do żadnego gatunku, oraz gryzonie (34 fragmenty – 1,4%), które trafiły przypadkowo do ogólnego materiału (w wykopie jest dużo nor). Udało się rozpoznać 6 fragmentów skorupy żółwia (0,2% rozpoznanego materiału) i 16 fragmentów muszli (0,7%). Z kości ptaków określono anatomicznie kilka fragmentów. Szczątki te należą do ptactwa domowego i stanowią one 0,5% rozpoznanego materiału (**Tab. 4**).

W całości rozpoznanego materiału do młodych osobników należały tylko 33 kości.

W grupie ssaków domowych dominują resztki zwierząt hodowlanych dostarczających mięsa, a także wy-

korzystywanych przyzyciowo. Najwięcej jest szczątków kozy-owcy oraz bydła. Jednak różnica procentowa między małymi przeżuwaczami a bydłem nie jest wyraźna (**Tab. 3**). Trzecie miejsce pod względem ilości zajmują kości konia. Oprócz tego występują kości świni oraz mięsożernych (wśród tych ostatnich znajdują się szczątki psa oraz kota).

Resztki kostne małych przeżuwaczy są typowymi odpadkami kuchennymi (**Tab. 2**), niektóre noszą ślady cięcia (kość piszczelowa i kość ramieniowa). Szczątki te zaliczono do jednej grupy koza-owca ze względu na duże podobieństwo kości w ich budowie anatomicznej (zidentyfikowano jedynie trzy moździerze jako należące do owcy oraz jeden moździerz kozy). Wśród szczątków kozy-owcy reprezentowane były wszystkie części szkieletu.

Tylko 9 fragmentów kostnych pochodziło od młodych zwierząt: 1 kręg, 1 fragment kości ramiennej, 1 fragment kości udowej, 2 fragmenty kości piszczelowej, 2 fragmenty metapodiów, 1 moździerz oraz 1 fragment zuchwy.

Wśród szczątków bydła znajdują się zarówno kości związane z nieatrakcyjnymi częściami tuszy, jak i pozostałości po spożytym mięsie – niektóre kości mają ślady pokonsumpcyjne. Są to: ślady przecięcia (zuchwa, metapodium, człony palcowe, piszczelowa, promieniowa) oraz ślady podziału tuszy widoczne na kręgach, ciętych wzdłuż. Badane szczątki kostne należą do wszystkich odcinków szkieletu (**Tab. 2**). Zwierzęta poddawane ubojowi to przeważnie osobniki dorosłe. O uboju młodego bydła świadczy zaledwie kilka fragmentów kości pochodzących z atrakcyjnych pod względem konsumpcji części tuszy (4 fragm. kości piszczelowej, 1 kręg), a ponadto 1 fragment metapodium i 1 kość piętowa. Pod względem przynależ-

ności płciowej udało się określić jedynie dwa mozdzenie – jako należące do samców. Rozkład anatomiczny świadczy o poddawaniu zwierząt ubojowi na miejscu.

Ze względu na zbyt duże rozczłonkowanie materiału nie można było przeprowadzić pomiaru wysokości w kłębie.

Szczątki konia należą prawie do wszystkich części szkieletu. Mogą prawdopodobnie stanowić resztki pokonsumpcyjne. Jest jednak bardziej prawdopodobne, że konie były hodowane przede wszystkim do celów przyżyciowych (jako zwierzęta juczne lub służące pod wierzch). Rozdrobnienie kości uniemożliwiło określenie wysokości w kłębie tego zwierzęcia.

Oceny wieku dokonano jedynie na podstawie jednego fragmentu kości piszczelowej i metapodium, jako należących do młodego osobnika.

Badane szczątki świni, to przede wszystkim pozostałości po spożytym mięsie. Świadczą o tym również ślady nacięć na kościach (np. kość piszczelowa, żebra). Szczątki reprezentują wszystkie części szkieletu (**Tab. 2**). W większości przypadków zabijano osobniki dorosłe. Ze szczątków młodych zwierząt wyróżnić można tylko: 3 fragm. kości udowej, 3 fragm. kości ramiennej, 1 fragm. kości piszczelowej oraz 1 kręg. Rozkład anatomiczny świadczy natomiast, iż zwierzęta poddawano ubojowi na miejscu. Na podstawie tak skromnego materiału kostnego

niemożliwe było określenie typu morfologicznego świni.

Mięsożerne stanowią ostatnią (oprócz ptaków) omawianą grupę zwierząt udomowionych. Ze względu na duże rozdrobnienie szczątków pominięto podział tej grupy na psa i kota. Są to jednak szczątki nie wchodzące w skład pozostałości pokonsumpcyjnych, a zatem nie wpływające na obraz gospodarki tego stanowiska.

Określono jedynie niewielki procent szczątków należących do młodych osobników. Są to: 1 fragm. kości promieniowej, 4 fragm. kości udowej, 1 kręg i 1 fragm. żebra.

Wśród kości ptaków i ryb (**Tab. 4**) nie występują szczątki pozwalające na określenie przynależności gatunkowej. Dlatego nie można było przeprowadzić dokładniejszej analizy tych dwóch gromad. Wśród szczątków ryb wyróżniono jedynie grupę ryb z rodziny jesiotrowatych. Identyfikację przeprowadzono na podstawie znalezionych tarczki skórných jesiotra.

Zmiany chorobowe widoczne są tylko na kilku kościach, należących do bydła. Są to trzy pierwsze człony palcowe (zmiany reumatyczne?).

Badania wykazały, że zajmowano się gospodarką hodowlano-rolniczą, urozmaiconą rybołówstwem (**Tab. 5**). Hodowano bydło, kozy-owce, konie, świnię, ptactwo domowe. Nie spożywano osobników młodych, co można tłumaczyć dość wysokim poziomem ekonomicznym, jak

Tab. 2. Rozkład anatomiczny szczątków zwierząt udomowionych

	bydło	koza-owca	koń	świnia	mięsożerne	suma
mozdzenie	7	7				14
czaszka	9	11	8	4	8	40
żuchwa	15	41	10	7	17	90
k. gnykowa			1			1
kręgi	55	82	24	33	60	254
żebra	99	41	22	35	72	269
łopatka	24	34	4	9	9	80
k. ramienna	11	38	8	34	8	99
k. promieniowa	10	18	4	7	10	49
k. łokciowa	5	12	2	7	5	31
śródręcze	1	1		1		3
miednica	4	27	10	2	22	65
k. krzyżowa					5	5
k. udowa	3	15	1	22	11	52
k. piszczelowa	11	16	14	13	8	62
k. skokowa	10	15	6			31
k. piętowa	12	8	6	2	2	30
k. stępu	8	8	9		2	27
śródstopie	1	1				2
k. rysikowa			3			3
metapodium	42	47	21	9	14	133
czł. palcowe	52	7	29	2	6	96
zęby	43	39	58	17	11	168
Razem	422	468	240	204	270	1604

Tab. 3. Rozkład ilościowy szczątków zwierząt udomowionych

	n	%
Bydło	422	26,1
Świnia	204	12,6
Koza-owca	468	29,0
Koń	240	14,9
Mięsożerne	270	16,7
Ptaki	11	0,7
Razem	1615	100

Tab. 4. Rozkład ilościowy wszystkich szczątków

	n	%
Ssaki	1643	67,9
Ptaki	11	0,5
Ryby	742	30,7
Gady	6	0,2
Mięczaki	16	0,7
Razem	2418	100

Tab. 5. Rodzaj gospodarki

	Ilość szczątków	%
Hodowla	1345	64,4
Rybołówstwo	742	35,6
Razem	2087	100

TATIANA ARSENIĘWA (*IA RAN*), TOMASZ SCHOLL (*IA UW*)**Отчет об археологических исследованиях проведенных в Танаис в 2002 г.**

Содержание

В 2002 году были продолжены исследования западной оборонительной линии эллинистического Танаиса. Открыты остатки каменно-дервянного моста, ведущего в город и построенного поперек оборонительного рва. Такой конструкции мост

в эллинистическое время неизвестен в археологической литературе. Также открыты очередные три детские захоронения (в том числе одно – в амфоре, датирующейся концом II - началом III вв. н.э.).

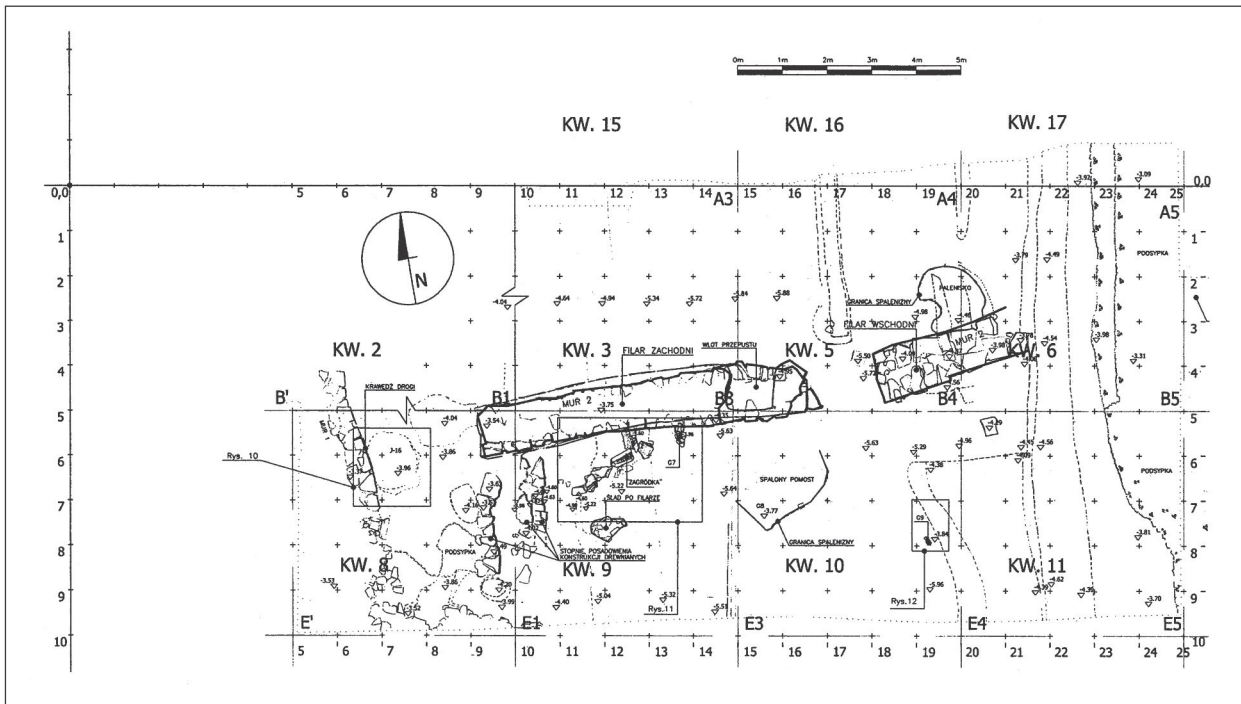


Fig. 1. Rzut wykopu XXV – część południowa. Rys. A. Pastewka



Fig. 2. Ogólny widok wykopu XXV od wschodu. Fot. T. Scholl

PLANSZA 2

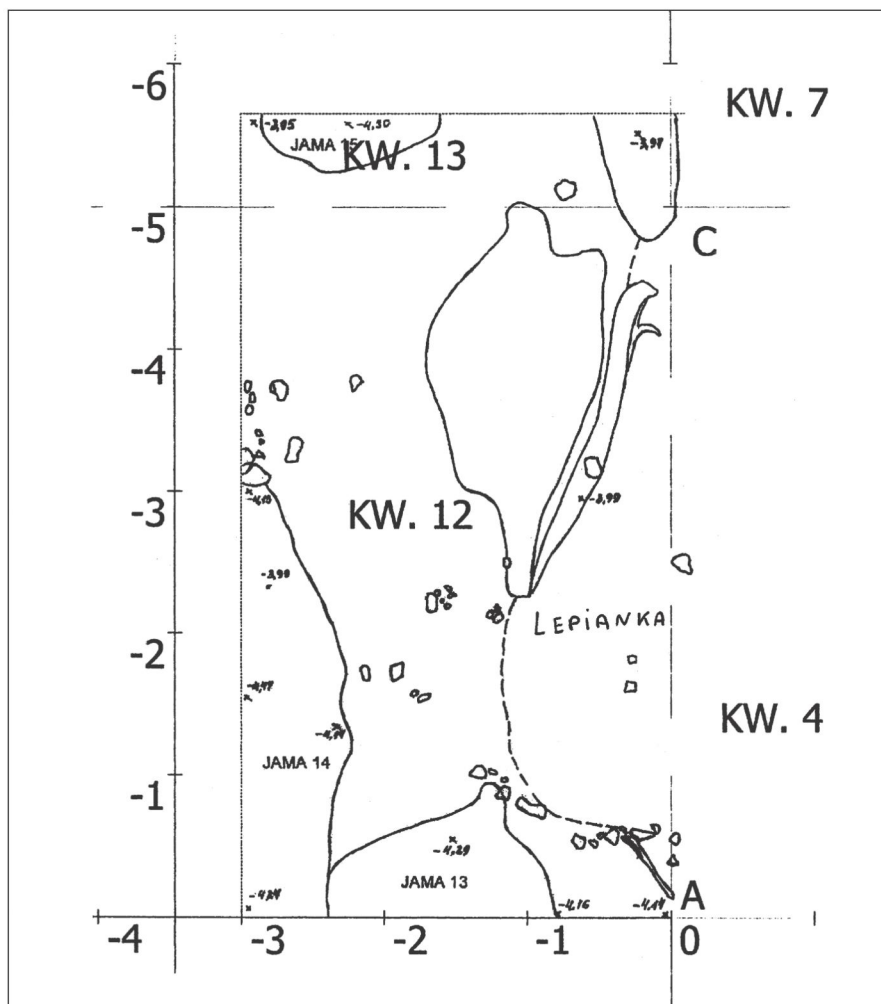


Fig. 3. Rzut kwadratów 12 i 13.
Rys. A. Pastewka



Fig. 4. Fragment imadła rodyjskiego amforiskosa ze stemplem; połowa II wieku p.n.e. Fot. T. Scholl

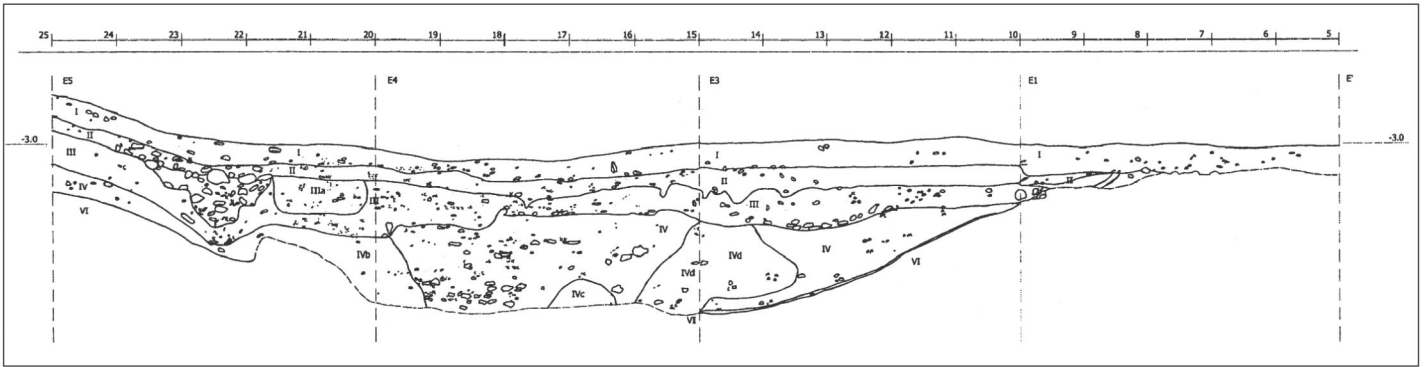


Fig. 5. Profil południowy kwadratów 8-11. Rys. A. Pastewka

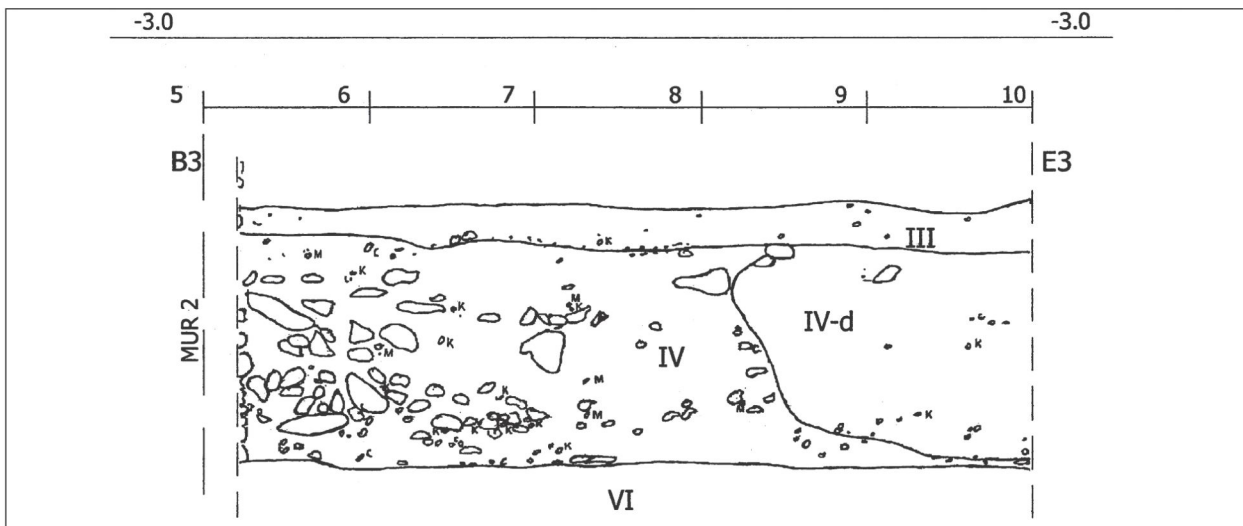


Fig. 6. Profil wschodni kwadratu 9. Rys. A. Pastewka

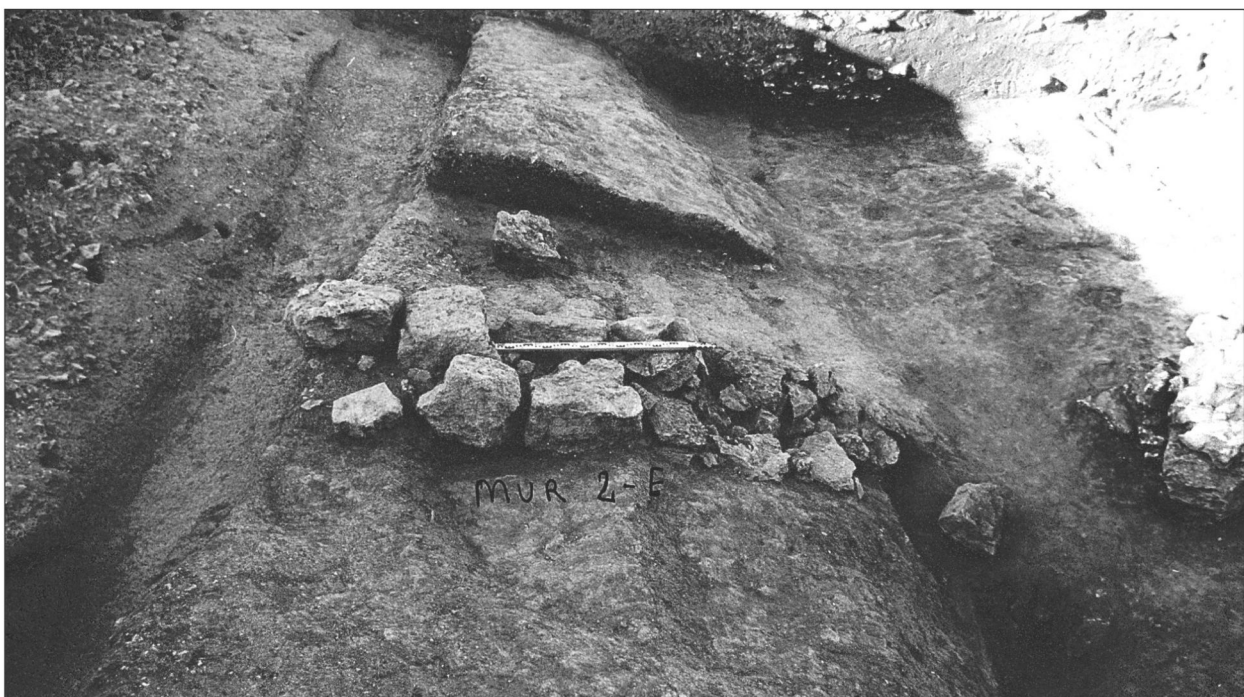


Fig. 7. Widok od północy na kwadraty 6 i 11. W centrum mur 2 – część wschodnia. Fot. T. Scholl

PLANSZA 4

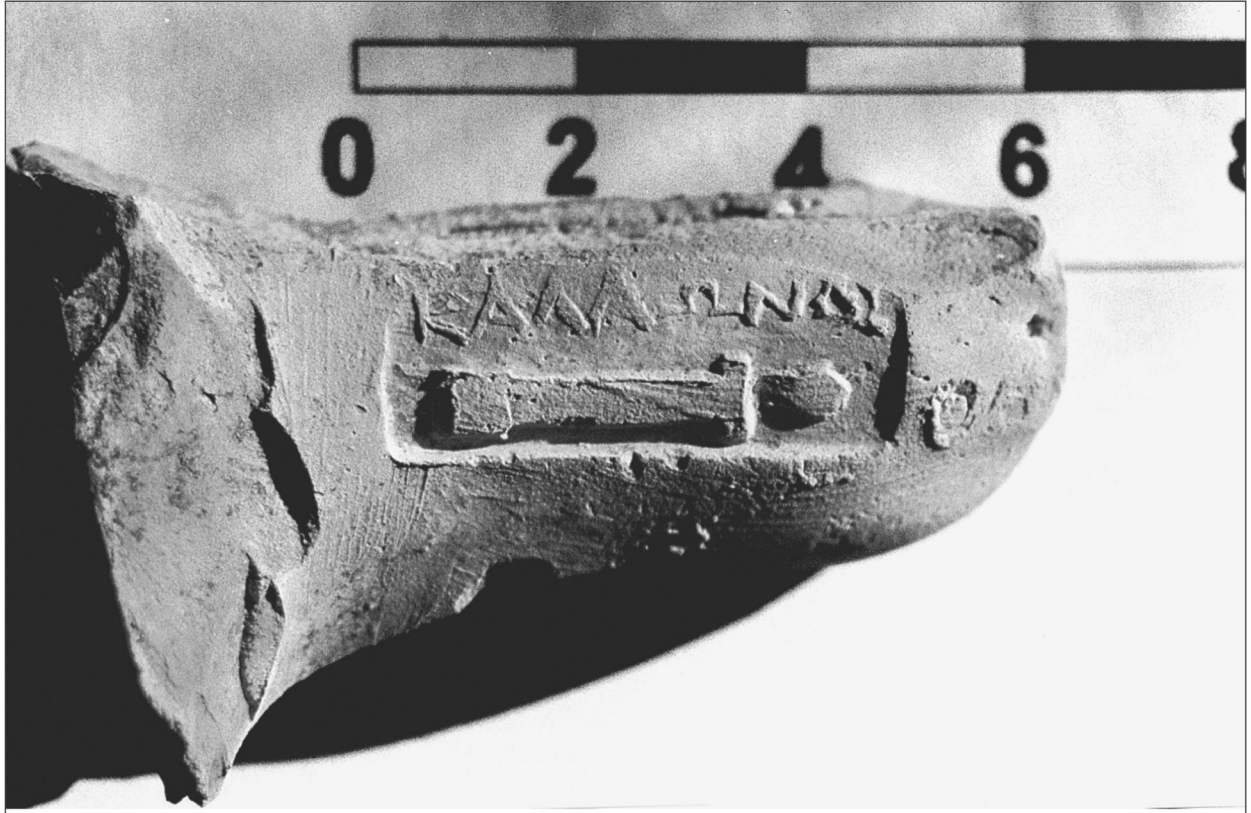


Fig. 8. Fragment imadła amfory ze stemplem; Rodos, 141-135 p.n.e. Fot. T. Scholl



Fig. 9. Fragment imadła amfory ze stemplem; Kos, II wiek p.n.e. Fot. T. Scholl



Fig. 10. Przedmiot kościany. Fot. T. Scholl

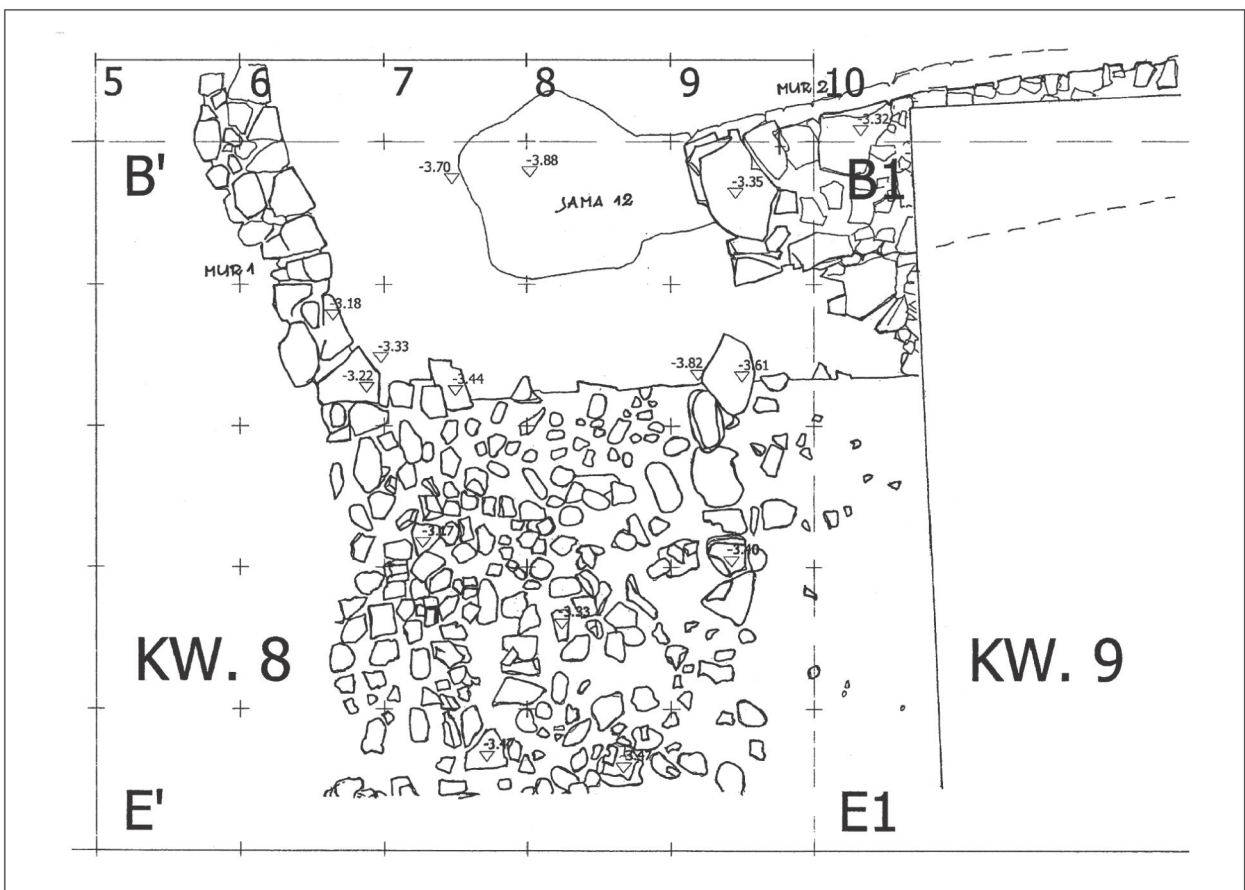


Fig. 11. Rzut, kwadrat 8, I poziom bruku. Rys. A. Pastewka

PLANSZA 6



Fig. 12. Widok kwadratu 8, I poziomu bruku. Fot. T. Scholl

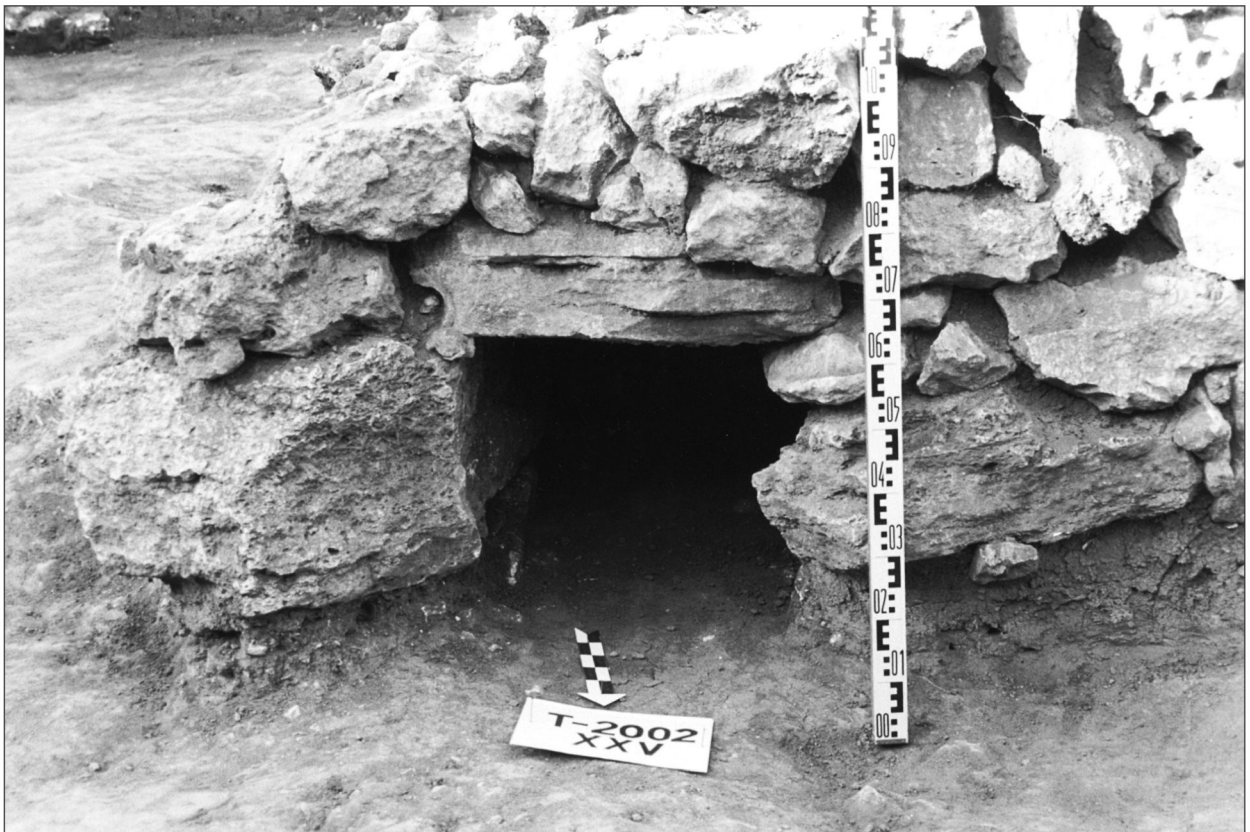


Fig. 13. Widok przepustu w murze 2, od północy. Fot. T. Scholl

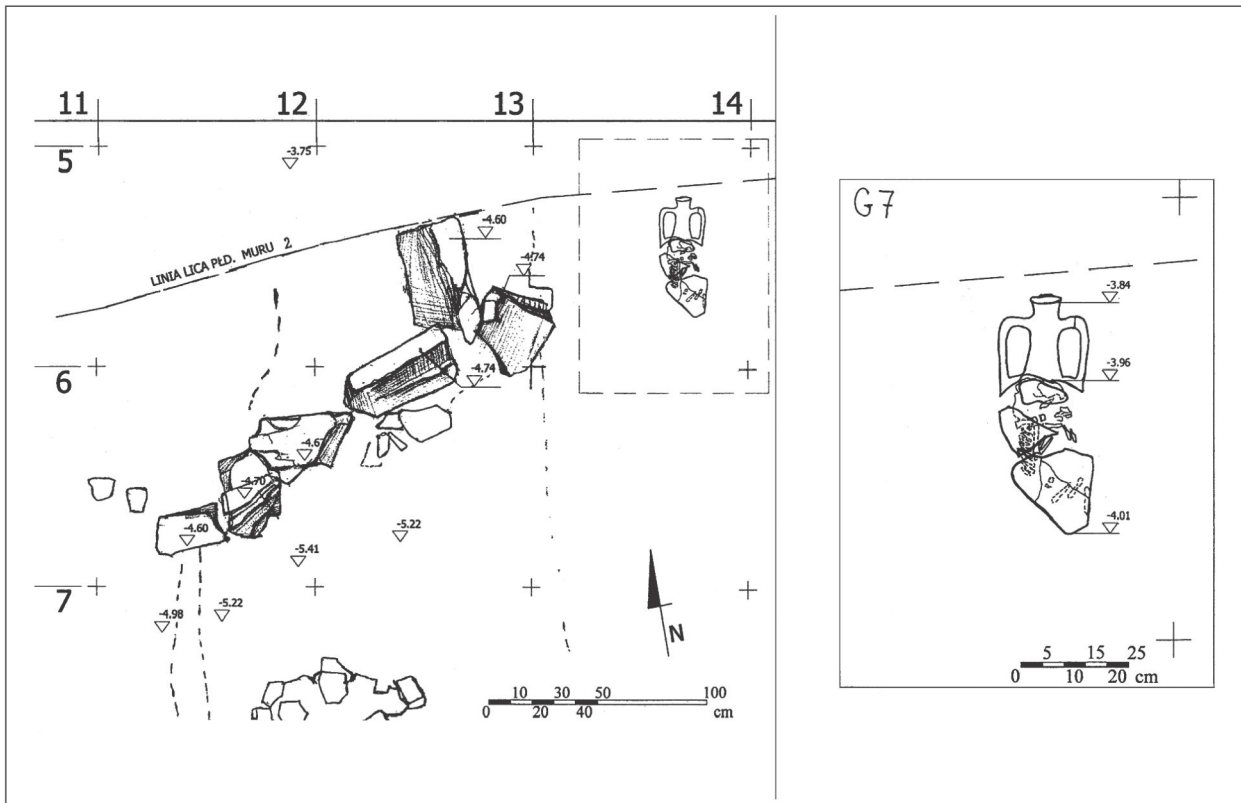


Fig. 14. Rzut „zagrodki” i grobu G 7, kwadrat 9. Rys. A. Pastewka

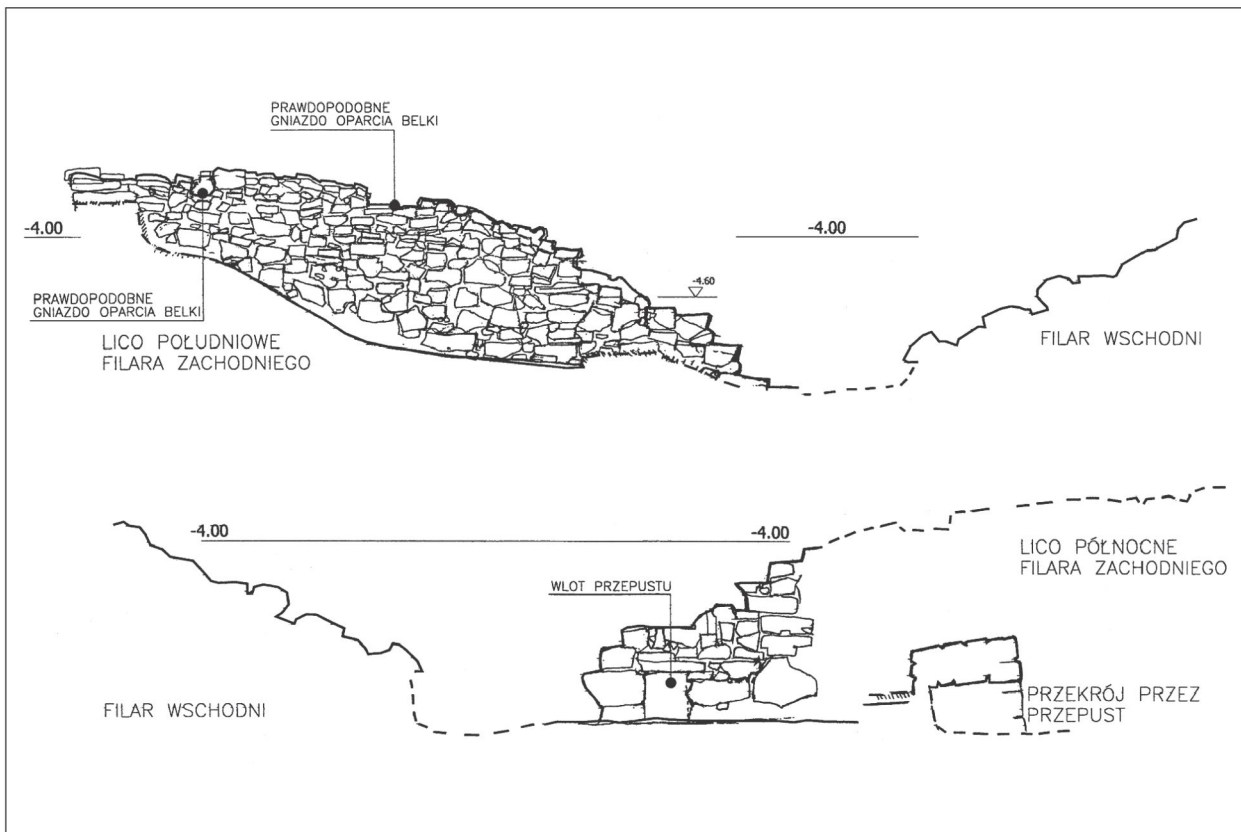


Fig. 15. Fasady muru 2. Rys. A. Pastewka

PLANSZA 8

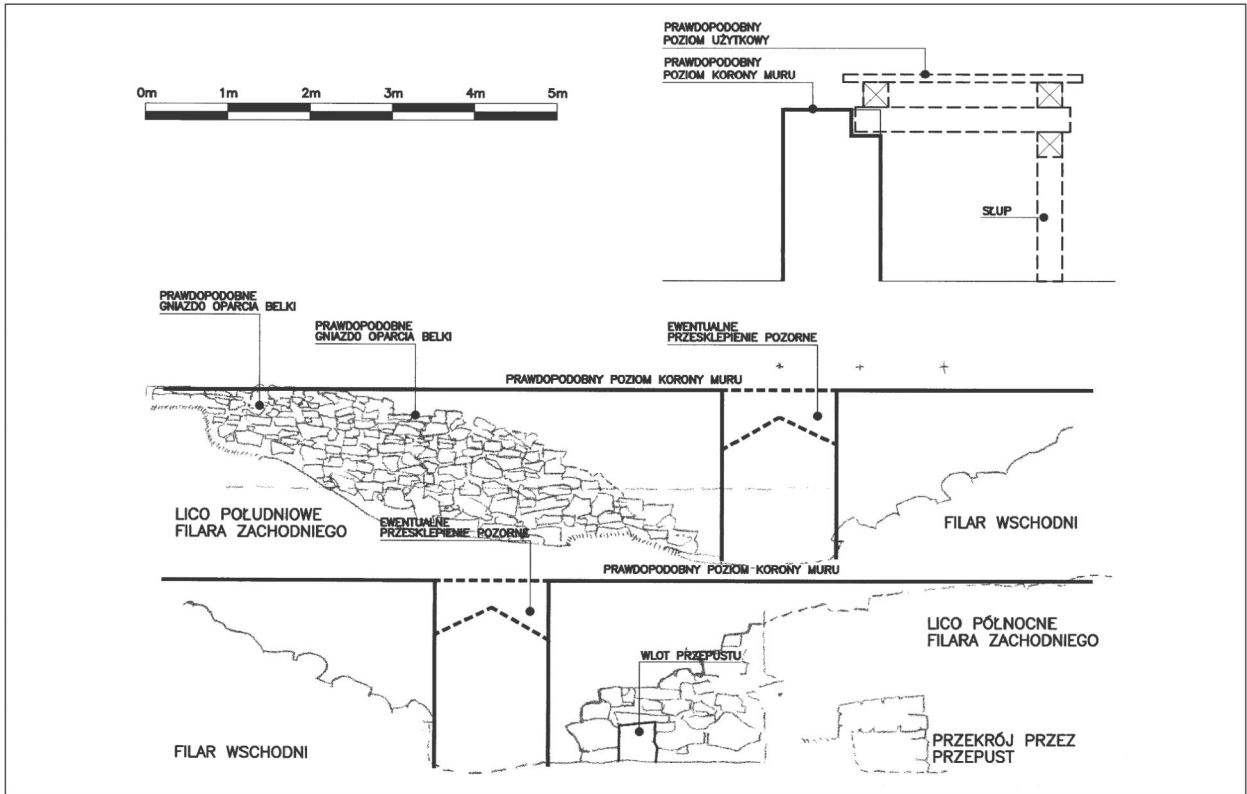


Fig. 16. Rekonstrukcja mostu. Rys. A. Pastewka

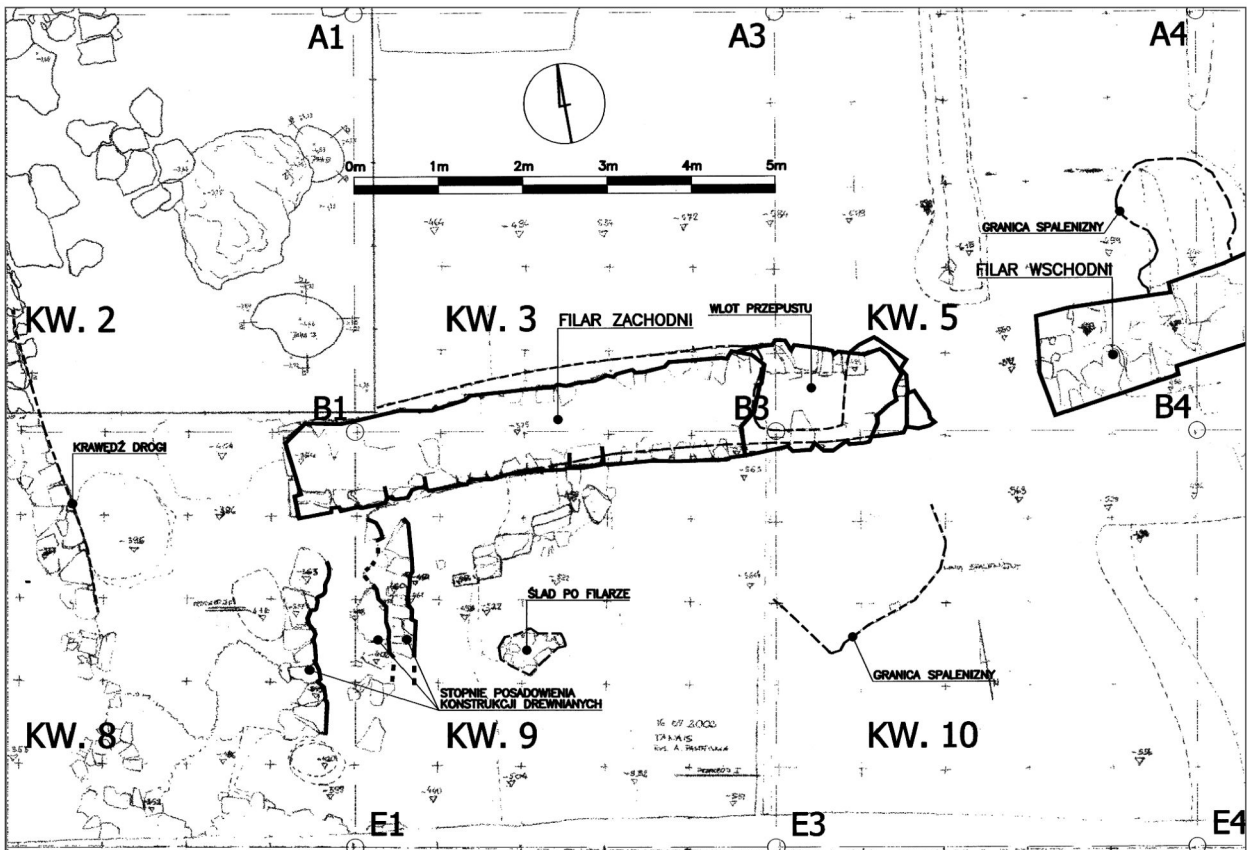


Fig. 17. Ślady w terenie po elementach konstrukcyjnych mostu. Rys. A. Pastewka

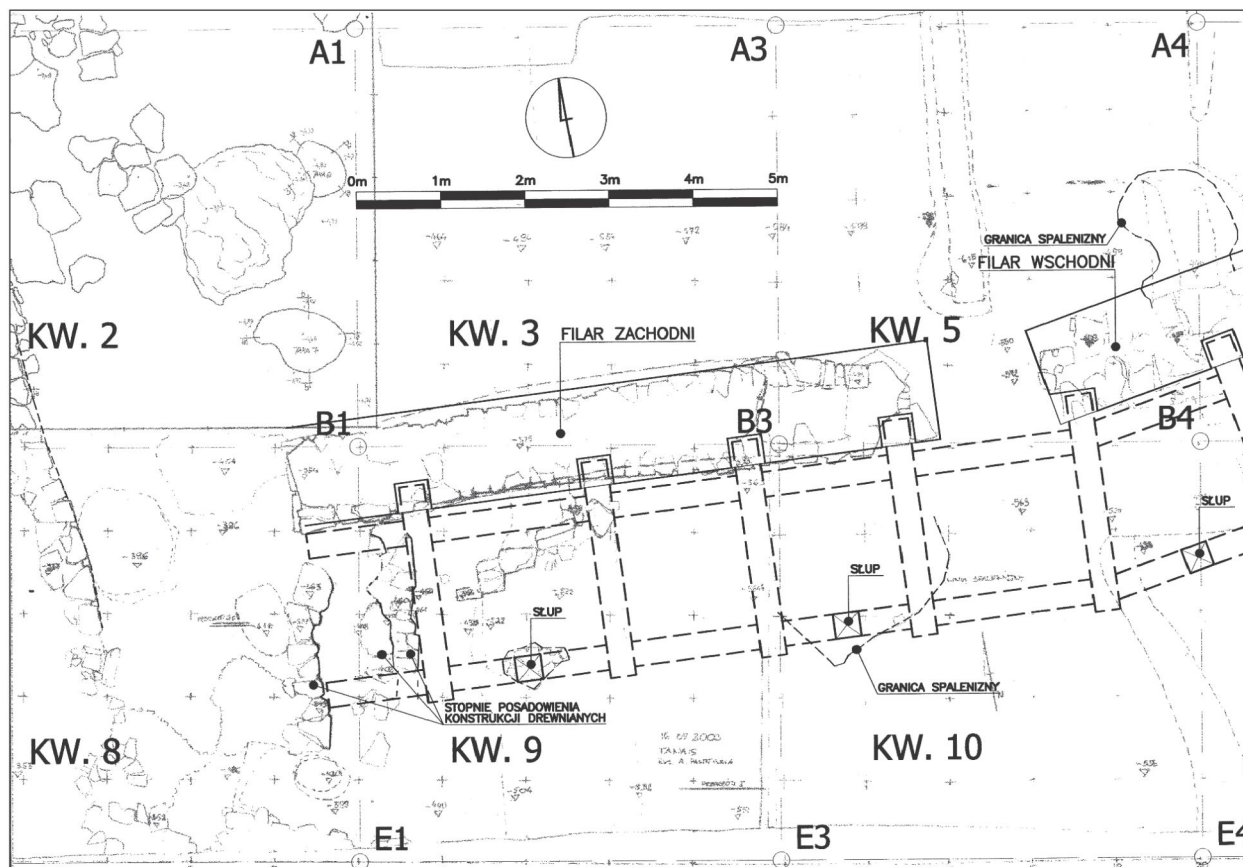


Fig. 18. Rekonstrukcja mostu. Rys. A. Pastewka



Fig. 19. Profil północny kwadratu 6, widok od południa. Fot. T. Scholl

PLANSZA 10

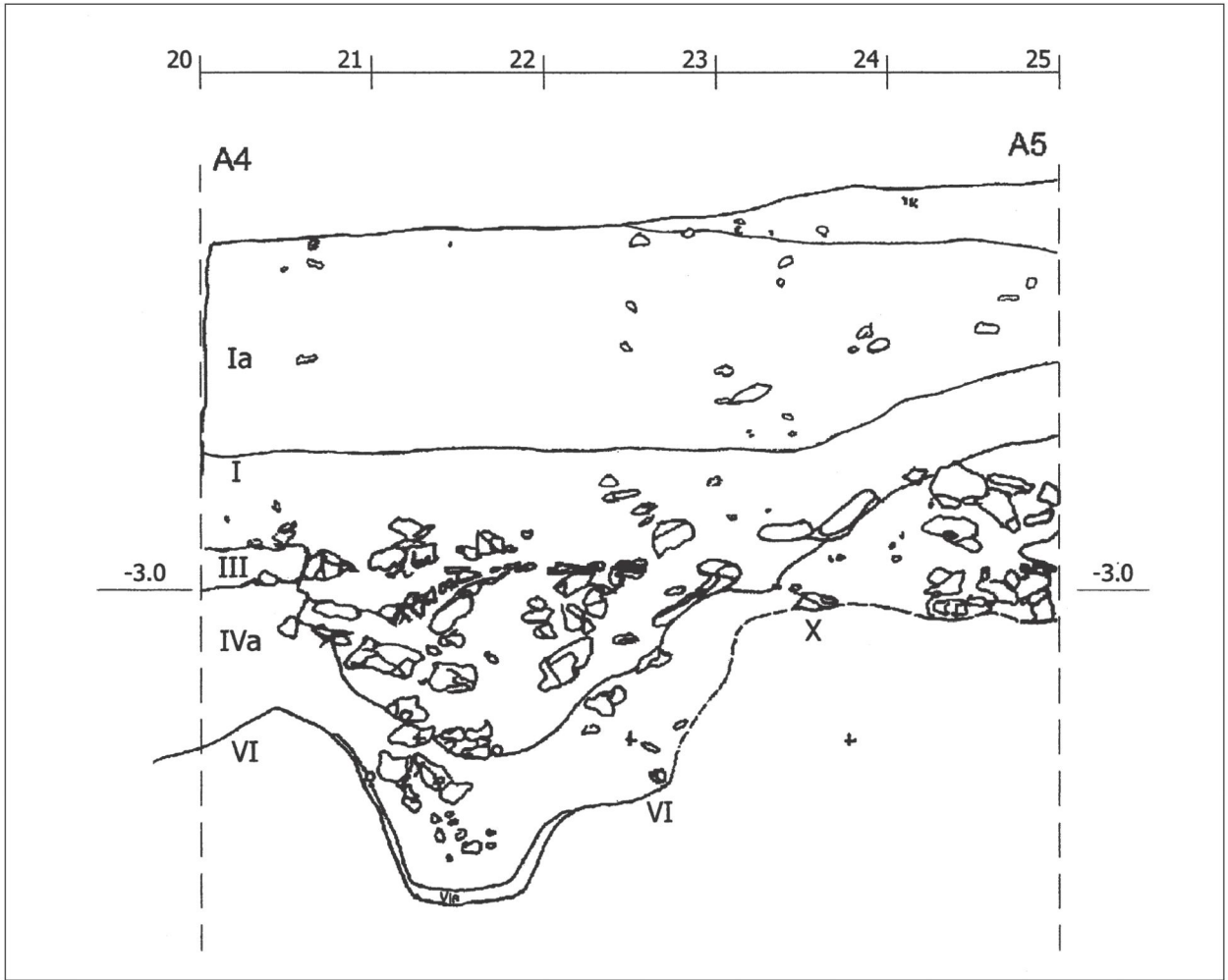


Fig. 20. Profil północny kwadratu 6. Rys. A. Pastewka

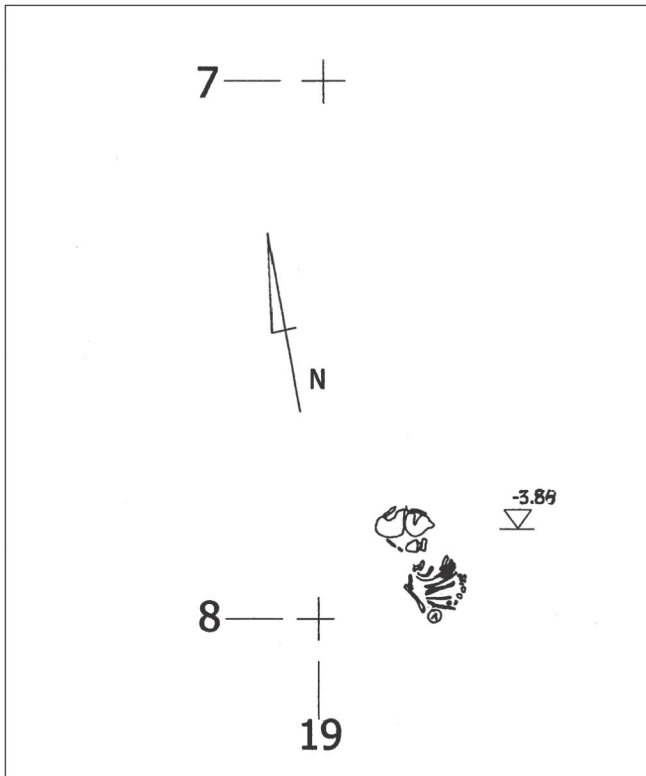


Fig. 21. Grób G 9, rzut. Rys. W. Rybicki

Fig. 22. Grób G 7, amfora; koniec II wieku p.n.e.
Rys. D. Święcka

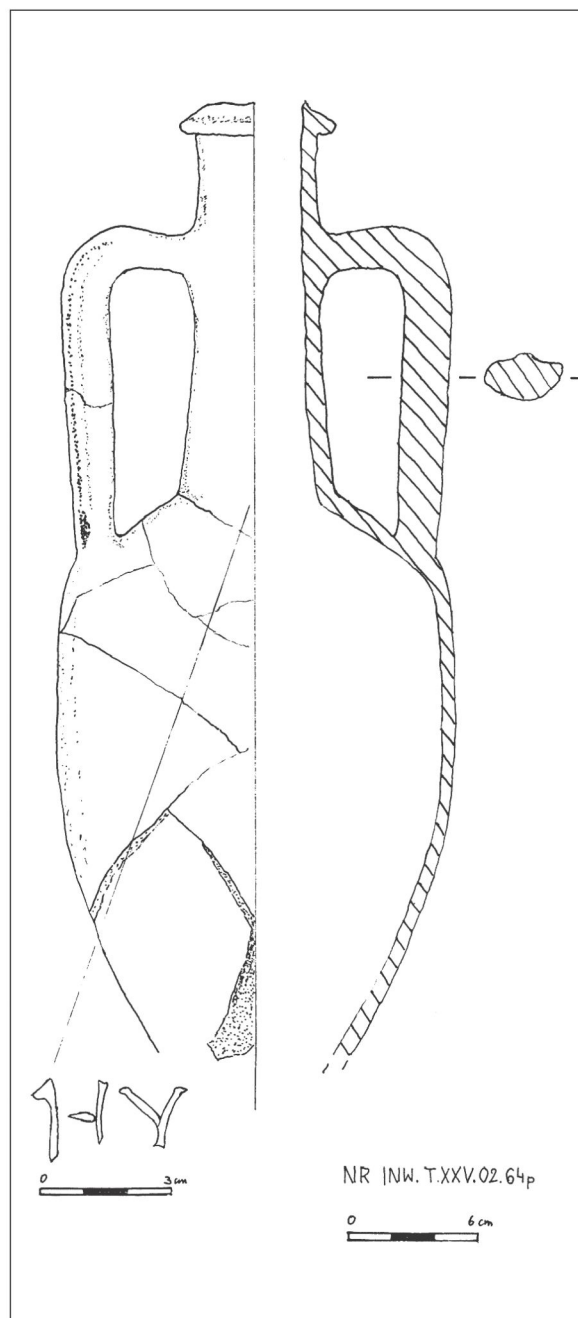


Fig. 23. G 7, II faza eksploracji. Fot. T. Scholl